

# 基于张量 SRSCPD-ALS 算法车地无线信号接收机

师嘉晨 韩曦 刘芹 虞欣 李安然  
 北方工业大学信息学院, 北京 100144

[摘要] 谱调制、谱编码 (Spectrally Modulated Spectrally Encoded, SMSE) 技术已经被应用在了多输入多输出 (Multiple-Input Multiple-Output, MIMO) 无线通信系统, 文章提出了一种基于张量的 SRSCPD-ALS 算法, 实现车地 MIMO 无线信号接收。仿真结果表明, 与 CP-ALS 算法相比, 此文采用方法迭代次数少, 且在秩比较大的情况下误码性能要更好。

[关键词] MIMO; 谱调制谱编码; SRSCPD-ALS 算法; 车地无线通信

DOI: 10.33142/sca.v4i5.4918

中图分类号: O441; TP212

文献标识码: A

## Vehicle Ground Wireless Signal Receiver Based on Tensor SRSCPD-ALS Algorithm

SHI Jiachen, HAN Xi, LIU Qin, YU Xin, LI Anran

School of Information, North University of Technology, Beijing, 100144, China

**Abstract:** Spectral modulated spectral encoded (SMSE) technology has been applied to multiple input multiple output (MIMO) wireless communication system. This paper proposes a tensor based SRSCPD-ALS algorithm to realize vehicle ground MIMO wireless signal reception. Simulation results show that compared with CP-ALS algorithm, this method has less iterations and better bit error performance in the case of large rank ratio.

**Keywords:** MIMO; spectral modulation and spectral coding; SRSCPD-ALS algorithm; train ground wireless communication

### 引言

随着无线通信业务的迅猛增长, 用户对无线通信的数据传输速率的要求越来越高, 导致频谱资源消耗增大, 现有频谱资源在时间和空间上存在闲置的问题, 因此, 1999 年 Joseph Mitola III 博士提出了认知无线电通信系统的概念和基本原理, 可以通过实时改变某些操作参数 (比如传输功率、载波频率和调制技术等), 使其内部状态适应接收到的无线信号的统计性变化, 以达到以下目的: 实现任何时间任何地点的高度可靠通信并对频谱资源进行有效利用。2006 年, Roberts M. L 等提出了谱编码, 谱调制技术, 该模型成功完成从系统参数到具体波形的映射, 被应用在了认知无线电系统当中<sup>[1]</sup>。2020 年, Zheng Dou 提出将 SMSE 技术应用在 MIMO 无线通信系统中, 并将波形设计为高阶张量模型, 通过 CP-ALS 算法, 可以在不借助导频序列的情况下联合估计用户符号和信道状态信息<sup>[2]</sup>。2017 年, Jian Li 提出对 SRSCPD-ALS 算法, 在一定的秩和信噪比范围内均优于多起点交替最小二乘 (Alternating Least Square, ALS) 算法, 且计算量小<sup>[3-4]</sup>。

本文提出将软件无线通信技术应用在车地通信当中, 由地面设备发送信息与列车车载设备完成信息交互工作。提出基于 SRSCPD-ALS 算法的车地 MIMO 无线通信系统, 并在此系统中通过空时编码 (Space-Time Code, STC) 提高系统的鲁棒性<sup>[5-6]</sup>。本文将基于 CP-ALS 算法的车地 MIMO 无线通信系统与所提接收机进行了性能对比, 仿真结果显示, 所提接收机具有更好的接收性能。

### 1 系统模型

本文考虑的系统模型是基于 MIMO 的车地无线通信系统<sup>[7-8]</sup>, 为了尽可能充分的提升信号频谱利用率及抵抗多径衰落, 信号调制采用 BPSK 调制方式<sup>[9]</sup>, 假设列车环路信号通过空时频编码<sup>[10]</sup>分配给不同的发射天线, 经由 BPSK 调制发送给无线通信信道, 车载设备通过接收天线将得到的接收信号对应进行 BPSK 解调及相应的空时频译码。为了研究方便, 本文暂时不考虑噪声的影响。模型如图 1 所示, 其中  $\mathbf{D} \in \mathbb{F}^{N \times R}$ ,  $\mathbf{C} \in \mathbb{F}^{R \times L}$ ,  $\mathbf{U} \in \mathbb{F}^{R \times L}$ ,  $\mathbf{A} \in \mathbb{F}^{M \times R}$ ,  $\hat{\mathbf{D}} \in \mathbb{F}^{N \times R}$ ,  $N$ 、 $R$ 、 $L$ 、 $M$ 、 $K$  分别代表符号个数、空时编码组数、载波个数、发射天线数、接收天线数。

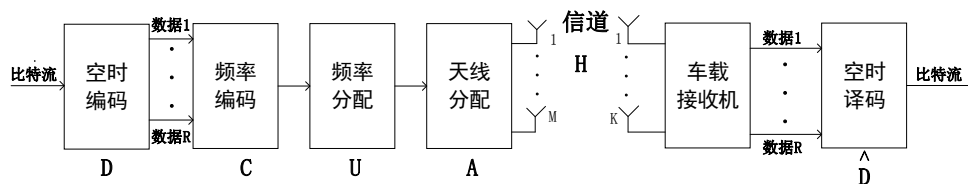


图 1 车地 MIMO 无线通信系统

第  $l$  个子载波和第  $m$  根天线传输的第  $n$  个张量通信符号可以建模为:

$$x_{m,l,n} = \sum_{r=1}^R a_{m,r} u_{r,l} c_{r,l} d_{n,r} \quad (1)$$

其中,  $a_{m,r}, u_{r,l}, c_{r,l}$  和  $d_{n,r}$  分别是矩阵  $\mathbf{A} \in \{0,1\}^{M \times R}$ ,  $\mathbf{U} \in \{0,1\}^{R \times L}$ ,  $\mathbf{C} \in \mathbb{F}^{R \times L}$  和  $\mathbf{D} \in \mathbb{F}^{N \times R}$  的元素, 上式可以进一步扩展将发射信号用张量形式进行表达:

$$\boldsymbol{\chi} = \sum_{r=1}^R a_{r,} \circ(u_{r,} \mathbf{e} c_{r,}) \circ d_{r,} \in \mathbb{F}^{M \times L \times N} \quad (2)$$

当对接收信号进行建模的时候需要考虑信道衰落的影响, 在 MIMO 通信系统中引入信道矩阵  $\mathbf{H} \in \mathbb{F}^{K \times M}$ , 因此, 接收信号张量  $\mathbf{Y} \in \mathbb{F}^{K \times L \times N}$  的元素  $y_{k,l,n}$  可以表示为:

$$y_{k,l,n} = \sum_{m=1}^M h_{k,m} x_{m,l,n} \quad (3)$$

对应第  $n$  个符号的接收信号张量  $\mathbf{Y}_{:, :, n}$  可以表示为:

$$\mathbf{Y}_{:, :, n} = \mathbf{H} \text{diag}(d_{n,}) (\mathbf{U} * \mathbf{C}) \quad (4)$$

为了简化表达式, 令  $\mathbf{P} = \mathbf{H}\mathbf{A} \in \mathbb{F}^{K \times R}$ ,  $\mathbf{Q} = (\mathbf{U} * \mathbf{C})^T \in \mathbb{F}^{L \times R}$ , 则有

$$\mathbf{Y}_{:, :, n} = \mathbf{P} \text{diag}(d_{n,}) \mathbf{Q}^T \quad (5)$$

## 2 多维矩阵模型

张量接收信号可以进一步进行 PARAFAC 建模:

$$\mathbf{Y}_{(1)} = [\mathbf{I}_{3,R} \times_1 \mathbf{P} \times_2 \mathbf{D} \times_3 \mathbf{Q}]_{(1)} = (\mathbf{D} \mathbf{e} \mathbf{P}) \mathbf{Q}^T \in \mathbb{F}^{NK \times L} \quad (6)$$

$$\mathbf{Y}_{(2)} = [\mathbf{I}_{3,R} \times_1 \mathbf{P} \times_2 \mathbf{D} \times_3 \mathbf{Q}]_{(2)} = (\mathbf{D} \mathbf{e} \mathbf{Q}) \mathbf{P}^T \in \mathbb{F}^{NL \times K} \quad (7)$$

$$\mathbf{Y}_{(3)} = [\mathbf{I}_{3,R} \times_1 \mathbf{P} \times_2 \mathbf{D} \times_3 \mathbf{Q}]_{(3)} = (\mathbf{P} \mathbf{e} \mathbf{Q}) \mathbf{D}^T \in \mathbb{F}^{KL \times P} \quad (8)$$

其中,  $\mathbf{I}_{3,R}$  表示矩阵维度为  $R \times R \times R$  的三维矩阵。

## 3 接收机算法

本文所使用的算法模型 SRSCPD-ALS 算法是在 CP-ALS 算法的基础上延伸得来, 具体算法步骤如下:

第一步: 初始化  $\mathbf{D}$ 、 $\mathbf{P}$ 、 $\mathbf{Q}$ , 利用 CP-ALS 算法对接收信号张量  $\mathbf{Y}$  进行秩  $r=1$  分解, 得到  $\mathbf{D}^1$ 、 $\mathbf{P}^1$ 、 $\mathbf{Q}^1$ ;

第二步: 将接收信号张量  $\mathbf{Y}$  与估计得到的张量因子  $\mathbf{Y}^1$  重构而成的  $\mathbf{Y}^{\%c}$  进行相差, 得到张量残差  $\mathbf{Y}_{res}$ ;

第三步: 对张量残差  $\mathbf{Y}_{res}$  进行秩  $r=1$  分解, 得到张量残差  $\mathbf{Y}_{res}$  对应的张量因子  $\mathbf{D}'$ 、 $\mathbf{P}'$ 、 $\mathbf{Q}'$ ;

第四步: 将估计得到的秩  $r=1$  张量因子  $\mathbf{D}^1$ 、 $\mathbf{P}^1$ 、 $\mathbf{Q}^1$  与对应的张量残差因子  $\mathbf{D}'$ 、 $\mathbf{P}'$ 、 $\mathbf{Q}'$  合并作为秩  $r=2$  的初始化因子矩阵;

第五步: 当秩  $r$  小于  $R$  时, 将初始化矩阵应用 CP-ALS 算法求得对应秩  $r$  的张量因子, 重复第二至第五步, 直到  $r=R$ 。

其中, CP-ALS 算法流程如下:

第一步: 初始化  $\mathbf{D}^1 \in \mathbb{F}^{N \times 1}$ ,  $\mathbf{P}^1 \in \mathbb{F}^{K \times 1}$ ,  $\mathbf{Q}^1 \in \mathbb{F}^{L \times 1}$ ;

第二步: 当  $\mathbf{D}^1$ 、 $\mathbf{P}^1$ 、 $\mathbf{Q}^1$  没有达到收敛条件时, 令

$$\mathbf{Q}^1 \leftarrow \|\arg \min_{\mathbf{Q}^1} \mathbf{Y}_{(1)} - (\mathbf{D}^1 \mathbf{e} \mathbf{P}^1) (\mathbf{Q}^1)^T\|_F \quad (9)$$

$$\mathbf{P}^1 \leftarrow \|\arg \min_{\mathbf{P}^1} \mathbf{Y}_{(2)} - (\mathbf{D}^1 \mathbf{e} \mathbf{Q}^1) (\mathbf{P}^1)^T\|_F \quad (10)$$

$$\mathbf{D}^1 \leftarrow \|\arg \min_{\mathbf{D}^1} \mathbf{Y}_{(3)} - (\mathbf{P}^1 \mathbf{e} \mathbf{Q}^1) (\mathbf{D}^1)^T\|_F \quad (11)$$

其中, 收敛条件为两次迭代矩阵因子均方误差差值小于  $10^{-5}$ 。

## 4 仿真结果

本节使用 MATLAB 仿真对算法进行测试, 图 2 给出了经 BPSK 调制的 SRSCPD-ALS 和 CP-ALS 算法在  $R=5$  情况下信号的估计精度, 图 3 给出了在  $R=15$  情况下信号的估计精度。其中, 蒙特卡罗仿真次数为 3000 次, 发射天线数为 8, 接收天线数为 8, 符号个数为 20, 载波个数为 20。

通过下图可以看出,  $R=5$  和  $R=15$  情况下, 2 种算法的 NMSE 值都随着 SNR 值的增加逐渐减小, 其信号估计能力增强。SRSCPD-ALS 算法在  $R=5$  时精度与 CP-ALS 算法接近, 在  $R=15$  时精度优于 CP-ALS 算法。这表明 SRSCPD-ALS 算法在低秩的情况下精度与 CP-ALS 算法接近, 在高秩的情况下优于 CP-ALS 算法。

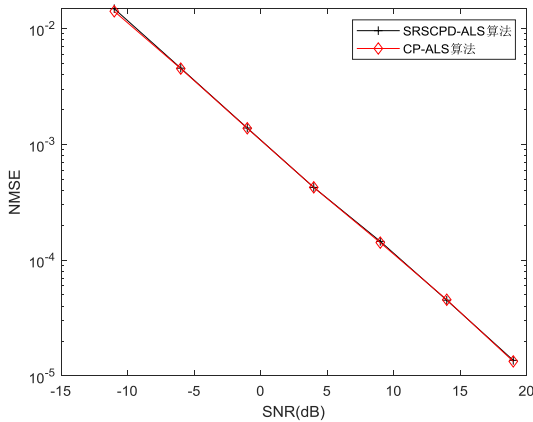


图 2  $R=5$  时 NMSE 随 SNR 的变化趋势

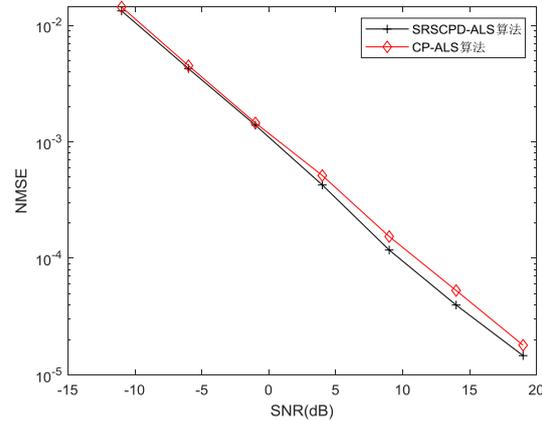


图 3  $R=15$  时 NMSE 随 SNR 的变化趋势

## 5 结论

本文采用 SRSCPD-ALS 算法完成对车载设备接收信号的估计工作, 在原有 CP-ALS 算法的基础上, 通过不断进行秩递归操作, 将张量分解因子与张量残差因子进行合并作为热启动值, 通过仿真结果可以看出, 在秩较大情况下, 该算法能够有效减少算法迭代次数, 提升误码性能, 保证信号接收质量的同时减少了计算量。

基金项目: 北京市自然科学基金项目 (L182039, L192034), 北京市教育委员会科技计划一般项目 (KM201910009011); 北方工业大学科研启动基金资助项目; 2020 年北京高等学校高水平人才交叉培养“实培计划”项目“高铁信号中的多用户干扰消除算法技术研究”。

### [参考文献]

- [1] Roberts M L. A General Framework for Analyzing, Characterizing, and Implementing Spectrally Modulated, Spectrally Encoded Signals[D]. State of Alabama: Air Force Institute of Technology, 2006.
- [2] Z Dou, C Li, C Li, X Gao, L Qi. Tensor Communication Waveform Design With Semi-Blind Receiver in the MIMO System[J]. in IEEE Transactions on Vehicular Technology, vol, 2020, 69 (2): 1727-1740.
- [3] J Li, J P Haldar, J C Mosher, D R Nair, J A. Gonzalez-Martinez and R. M. Leahy, "Scalable and Robust Tensor Decomposition of Spontaneous Stereotactic EEG Data[J]. in IEEE Transactions on Vehicular Technology, vol, 2020, 66 (6): 1549-1558.
- [4] J Li, J C Mosher, D R Nair, J Gonzalez-Martinez, R M Leahy. Robust tensor decomposition of resting brain networks in stereotactic EEG[J]. 2017 51st Asilomar Conference on Signals Systems and Computers, 2017, 3 (1): 1544-1548.
- [5] 李星, 苏佳. MIMO 系统中的空时分组分组码技术研究[J]. 电子世界, 2018 (2): 120-121.
- [6] 李苗, 邵朝, 赵国库. 不同信道条件下 MIMO 空时编码技术的特性分析[J]. 传感器与微系统, 2016, 35 (6): 48-51.
- [7] 高翔. 5G 移动通信技术在城市轨道交通无线通信系统中的应用[J]. 城市轨道交通研究, 2018, 21 (2): 61-64.
- [8] 刘苗. 高速车地无线通信 MIMO 技术研究[D]. 四川: 西南交通大学, 2013.
- [9] 刘文龙, 裴莹莹, 金明录. BPSK 通信系统的部分最优 MIMO 检测算法[J]. 信号处理, 2013, 29 (10): 1315-1322.
- [10] 张詠. 基于空时频发射分集技术分析与设计[J]. 信息通信, 2020 (2): 122-124.

作者简介: 师嘉晨 (1995-), 所属院校: 北方工业大学, 所学专业: 电子与通信工程, 研究方向: 无线通信技术。